

TMP de Pinus taeda: misturas para fabricação de papéis para imprimir e escrever, embalagens e sanitários

MFN -0405

N CHAMADA:

TITULO: TMP de Pinus taeda: misturas para fabricação de papéis para imprimir e escrever, embalagens e sanitários

AUTOR(ES) : NEVES, J.M.

EDICAO:

IDIOMA: português

ASSUNTO: 04.2. fabricação de papel: processo e equipamentos

TIPO: Congresso

EVENTO: Congresso Anual de Celulose e Papel, 22

PROMOTOR: ABTCP

CIDADE: São Paulo

DATA: 20-24.11.1989

IMPRENTA: Sao Paulo, 1989, ABTCP

PAG/VOLUME: p.471-495,

FONTE: Congresso Anual de Celulose e Papel, 22, 1989, São Paulo, p.471-495

AUTOR ENTIDADE:

DESCRITOR: papel para imprimir, papel para escrever, papel para embalagem, papel higiênico, pastas termomecânicas, Pinus taeda, pastas mecânicas, pastas químicas, formação da folha, ensaios físico-químicos

RESUMO: Preparam-se em laboratório várias misturas em cuja formulação entravam pasta termomecânica (TMP) de P. taeda, pasta mecânica de pedra (SGW) de Pinus spp e pasta química branqueada de mercado (PK) ou de fibra longa, de Pinus spp ou de fibra curta, de Eucalyptus spp. Após diferenciar as características físicas destas misturas, verificou-se sua adequação para o uso na fabricação de vários tipos de papéis: para imprimir e escrever, embalagens e capa, miolo, sacos e, finalmente, para fins sanitários

TMP de Pinus taeda: MISTURAS PARA A FABRICAÇÃO DE PAPEIS PARA IMPRIMIR E ESCREVER, EMBALAGENS E SANITÁRIOS

Autor: José Mangolini Neves
IPT/CTCP - Centro Técnico em Celulose e Papel

Resumo:

Prepararam-se em laboratório várias misturas em cuja formulação entravam pasta termomecânica (TMP) de *Eitaeda*, pasta mecânica de pedra (SGW) de *Pinus spp* e pasta química branqueada de mercado (PK) ou de fibra longa, de *Pinus spp* ou de fibra curta, de *Eucalyptus spp*.

Após diferenciar as características físicas destas misturas, verificou-se sua adequação para o uso na fabricação de vários tipos de papéis: para imprimir e escrever, embalagens e capa, miolo, sacos e, finalmente, para fins sanitários.

1. INTRODUÇÃO

Os nossos papéis, não importando a que produto se destinam, são fabricados em sua maioria integralmente com pasta química de eucalipto.

Entretanto, a comparação entre a oferta de pasta e a demanda de papel tem feito recuar uma situação futura de escassez de pasta, solicitando do Setor a necessidade de novos investimentos para a expansão da produção e a adoção de medidas que justifiquem uma melhor utilização das matérias-primas.

Sugeriu-se, assim, incluir pastas de alto rendimento na formulação básica de certos papéis. Torna-se, portanto, necessário verificar em quais pontos esta medida é viável e, o que é mais importante, que ela seja implementada de um modo que o produto ainda atenda as especificações de qualidade exigidas pelo mercado.

Assim, procurou-se avaliar as características mecânicas e ópticas de misturas preparadas com pastas termomecânicas de *Eitaeda* e pastas químicas, tanto de *Pinus spp* como de *Eucalyptus spp*, com ou sem pasta mecânica de *Pinus spp*. Procurou-se, ainda, verificar a adequação dessas misturas quanto ao uso na fabricação de vários tipos de papéis, tais como: para escrever e imprimir; para embalagens em geral; para sacos; para miolo e capa; e para fins sanitários.

"Trabalho apresentado no 22º Congresso Anual de Celulose e Papel da ABTCP, realizado em São Paulo - SP - Brasil, de 20 a 24 de novembro de 1989".

2 METODOLOGIA

2.1 Preparação das misturas

Na preparação destas misturas, utilizando-se pasta termomecânica (TMP) produzida a partir de Etaeda; pastas kraft branqueadas ou não, obtidas a partir ou de *Pinus spp.* (PK-PI) ou de *Eucalyptus spp.* (PK-EU) branqueadas (BR) ou não (NB) e pasta mecânica de *Pinus spp.* (PM).

A pasta mecânica de pedra e as pastas químicas foram conseguidas junto a indústrias nacionais.

A pasta termomecânica (TMP) de Etaeda usada nestes experimentos trazia o código TMP-137, apresentando 700mL de drenabilidade-CSF ou 14 °SR e foi produzida em planta piloto conforme o processo termomecânico, impregnando-se cavacos de Etaeda com vapor saturado a 121°C e desfibrando no primeiro estágio do processo, sob pressão, à temperatura de 137°C e efetuando o segundo estágio de desfibramento à pressão atmosférica, com um consumo específico total de energia de 950 kWh/t de cavaco seco.

Esta pasta sofreu desfibramento complementar em desfibrador de disco, trabalhando a pressão atmosférica, conforme as drenabilidades exigidas para as misturas destinadas a cada tipo de papel estudado. Recebeu, assim, as designações de 137A, B ou C, sendo a mais desfibrada aquela seguida pela letra C. Para algumas formulações foi necessário branquear amostras destas pastas com peróxido de hidrogênio.

A fim de atingir os objetivos visados neste trabalho, dividiram-se as atividades por tipo de papel e por grupo de mistura, procurando assim evidenciar quando foi adicionada pasta química de *Pinus spp.* ou de *Eucalyptus spp.*

Para estabelecer as formulações destas misturas foram coletadas informações sobre os papéis a serem estudados em termos das formulações comumente usadas em sua fabricação, de suas próprias características físicas e das pastas que comumente os compõem (3,4).

2.2 Caracterização das misturas

a) Formação de folhas

De todas as formulações estudadas foram preparadas folhas manuais em aparelho Regmed, do tipo Rapid Koethen, equipado com tela de 150 mesh. Quando destinadas a papéis para imprimir e escrever, embalagens, capa e sacos, a gramatura nominal das folhas foi de 60 g/m². Para papel miolo, as gramaturas nominais foram de 60 e 130 g/m² e para papéis sanitários, de 25 e 60 g/m².

b) Ensaios físicos e ópticos

Após condicionamento, as folhas manuais de cada grupo foram submetidas aos ensaios mecânicos e ópticos apropriados para o papel a cuja produção se destinavam as misturas. Na maior

parte das vezes foram aplicadas as normas da ABNT, sendo que os resultados obtidos por outras vias estão devidamente assinalados

3 RESULTADOS

As características mecânicas e ópticas das misturas são apresentadas nas tabelas de números 1 a 5

4 ANÁLISE E COMENTÁRIOS

4.1 Misturas para papéis para imprimir e escrever

As características físicas-mecânicas e ópticas das misturas destinadas a papéis para imprimir e escrever (Grupo 21) foram estudadas quanto ao teor de pasta termomecânica na mistura e com a diminuição do volume específico aparente medido aqui pela variação na densidade aparente da folha. Na tabela 6 estão as equações obtidas neste estudo. Para melhor visualização, com os valores calculados pelas equações construirão-se as figuras de números 1 a 6, onde cada propriedade é expressa em função dessas duas características.

A análise conjunta da influência da adição de pastas termomecânicas e da densidade aparente nas características mecânicas e ópticas das misturas se fez necessária, pois é um fato (3) que somente um aumento no volume específico aparente pode contribuir tanto para o enfraquecimento da resistência da pasta como para o aumento da opacidade (coeficiente de espalhamento de luz).

Nas misturas estudadas isso ocorreu e pode ser observados nas figuras citadas. A explicação mais plausível para isto é a de que as fibras da pasta termomecânica, por serem mais rígidas, apresentam-se menos colapsadas que as de uma pasta química. Assim, a inclusão de TMP na mistura contribui para provocar uma redução na área de contato entre as fibras, o que reduz os valores das suas características mecânicas.

Para os papéis para escrever (2), as seguintes características são importantes:

- gramatura, espessura e volume específico;
- resistência ao arrebentamento, à tração, ao rasgo e às dobras duplas;
- resistência ao arrancamento e ao desprendimento de pó;
- asperezza (lisura);
- grau de colagem (Cobb test) e absorção de tinta;
- opacidade

Entretanto, não se encontraram na literatura valores típicos ou especificações para estas características. Somente Sagristá (4) apresenta alguns valores típicos:

- Resistência ao arrebentamento (Hullen)	16
- Índice de arrebentamento (kPa m ² /g)	1,56
- Resistência ao ar, Gurley(s)	13-20

Segundo a figura 4, índices de arrebentamento comparáveis ao valor apresentado por Sagristá, poderão ser obtidos com misturas contendo pasta sulfato de *Eucalyptus* e até cerca de 60% de pasta termomecânica.

Como se pode inferir dos dados da tabela 1, misturas contendo entre 40% e 50% de pasta termomecânica apresentam para a resistência ao ar, Gurley, valores em torno de 12 segundos, e uma mistura com 30% de pasta termomecânica apresenta valores em torno de 16 segundos. Esses valores podem ser facilmente aumentados por colagem, interna ou superficial, também necessária para controlar a receptividade de tinta pelo papel, ou seja, recebê-la sem absorvê-la de modo a atravessar a folha ou espalhá-la (5).

Adicionando-se pasta termomecânica à pasta química de eucalipto, aumenta a propriedade de opacidade, medida pelo coeficiente de espalhamento de luz (figura 6), e o volume da folha, que pode ser visto pela diminuição da densidade aparente, que são propriedades importantes para este tipo de papel.

Assim, a adição de 50% de TMP, faz baixar a alvura da pasta química de eucalipto, de 82% para um valor próximo de 70%. Há, portanto, necessidade de se encontrar o valor ótimo para a alvura deste tipo de papel, levando em conta a sua finalidade, o que resulta num compromisso entre a formulação da mistura e esta propriedade.

Têm-se formulações contendo entre 30 e 40% de pasta termomecânica que apresentam características mecânicas e ópticas aceitáveis pelo mercado de papéis para escrever. Entretanto, um cuidado especial deve ser dispensado na preparação desta pasta a fim de manter baixo o teor de estilhas, que controla a aspereza e desprendimento de pó do papel.

Entre os papéis de imprimir, os mais importantes são do tipo para revista (magazine) e o de baixa gramatura recoberto, LWC (light weight coated).

Os papéis usados na fabricação de revistas podem ser divididos em dois grupos: acabado em máquina (MF - machine finished), e o supercalandrado (SC). Deste último, o tipo mais usado é o supercalandrado para revista (SC Magazine), que é principalmente usado em produtos impressos em rotogravura. Recentemente, sua importância aumentou com a introdução no mercado do papel off-set supercalandrado para revista (SC off-set magazine paper), desenvolvido para substituir o papel LWC em muitos de seus usos.

As pastas que compõem os papéis para revista devem lhes conferir bom desempenho em máquina (runnability), significando níveis adequados de resistências ao rasgo e à tração, tanto a úmido e como a seco, e alongamento satisfatório.

Têm-se na tabela 1 os valores das características mecânicas das misturas preparadas com TMP de Etaeda, as quais apresentam menor resistência mecânica do que os papéis de mercado. Isto, deve-se, em parte, à resistência da pasta TMP de Etaeda, que é menor que as das pastas TMP de abeto, comumente utilizada nestes papéis. Exemplificando, o índice de tração para pastas TMP de abeto é da ordem de 40 N/mm²/g (tabela 5 - Ref 2), praticamente o dobro do valor encontrado para pasta de Etaeda, 23 N/mm²/g, sendo o índice de rasgo, 6,5 mN/mm²/g e 4,5 mN/mm²/g, respectivamente. É evidente que esta diferença

de valores afeta a resistência mecânica do papel.

Níveis aceitáveis de índice de tração para pastas de abeto, estão em torno de 40 N.m /g (tabela 5 e 6, Ref.2). Este valor pode ser obtido com misturas de pasta sulfato de Eucalyptus e pasta termomecânica de Etaeda, contendo até 50% desta última. Entretanto, índices de 49,0 N.m/g (5,0 km) a 53,9 N.m/g (5,5 km), apresentados por papéis de mercado (tabela 7, Ref.2), só podem ser obtidos com misturas contendo 10 a 20% de pasta termomecânica. O mesmo se pode dizer quanto ao índice de rasgo.

No caso de papéis para revista, ainda, as pastas que os compõem devem lhes conferir uma boa imprimibilidade. Para rotogravura, significando boa opacidade, superfície densa com baixa absorção de tinta e alta lisura.

Nessas misturas, a pasta TMP deverá contribuir para o aumento da opacidade (coeficiente de espalhamento de luz). Pela figura 6, observa-se que misturas contendo até 40% de pasta termomecânica, apresentam os valores para esta propriedade ainda relativamente baixos (46 a 48 m²/kg) quando comparados com valores em torno de 55 m²/kg (tabela 5, Ref.1), frequentemente encontrados em pastas utilizadas para papéis base de revestimento.

Esse baixo valor da opacidade mostra a necessidade de se adicionar pasta mecânica neste tipo de mistura, o que, provavelmente, enfraquece-la ainda mais.

Quanto à alvura, por exemplo, os papéis supercalandrados, fabricados em Millkosky (tabela 4, Ref.2), apresentam valores de alvura-ISO em torno de 60%. Pela figura 5, observa-se que este nível pode ser conseguido, utilizando-se somente pasta termomecânica branqueada de Etaeda.

Com relação a alongamento, resistências à tração, a seco e a úmido e ao arrancamento superficial, não se encontrou dados que permitam a comparação entre papéis de mercado e misturas. O mesmo acontece com a lisura e capacidade de absorção de tinta.

Como as fibras de pasta TMP de Etaeda são relativamente mais rígidas que as de abeto, é provável que isto ocasione uma certa perda na lisura no papel e produza pó, deficiências que devem ser evitadas na impressão offset.

Os papéis de baixa gramatura recobertos ou LWC (light weight-coated, são papéis produzidos para serem utilizados na impressão em rotogravura e offset, sendo que suas propriedades de superfície são conseguidas, em grande parte, pela aplicação e composição do recobrimento (coating).

A qualidade do papel base é de primordial importância para a qualidade final deste produto; falhas no primeiro dificilmente podem ser sanadas pelo recobrimento. A alvura e opacidade do papel LWC dependem fortemente das correspondentes propriedades das pastas usadas em sua manufatura.

- O papel base para este produto deve ter um bom desempenho
- na máquina de papel (nível adequado de resistência à tração a úmido);
 - no recobrimento e nas máquinas impressoras (níveis adequados de resistência à tração e ao rasgo; suficiente ligação entre as fibras para evitar que estas se destaquem da superfície durante o recobrimento e o processo de impressão)

Outras propriedades que afetam a imprimibilidade destes papéis são lisura, brilho, absorção de óleo e tinta, porosidade, densidade e formação da folha.

Para papéis LWC de mercado encontram-se os seguintes valores (tabela 4, ref 2).

- índice de tração	23	a	33	N m/g
- índice de rasgo	3	a	5	mn m/g
- índice de arrebentamento	1,5	a	1,8	kPa m ² /g

As figuras 2, 3, 4 e 6 mostram que estes patamares podem ser atingidos com misturas, tendo até 50% de pasta termomecânica de Etaeda. Entretanto, o problema está na opacidade, que exige como comentado, a inclusão de pasta mecânica na mistura que deverá ser usada na fabricação de papéis revista.

4.2 Misturas para papéis para embalagens e capa

As características físicas das misturas que se destinam a papéis de embalagens e capa (Grupos 4.1 e 4.2) foram estudadas em função do teor de pasta termomecânica na mistura e da densidade aparente, sendo apresentados nas tabelas 7 e 8, as equações obtidas e com os valores calculados para cada propriedade foram construídas as figuras de números 7 a 13.

Quanto à utilização de pasta química, seja de *Eicus* spp seja de *Eucalyptus* spp, misturada com pasta TMP de *Eicus* taeda, pode-se ver nas figuras o que já de esperar, as misturas contendo pasta química de *Eicus* spp (Grupo 4.1) são mais resistentes que as misturas contendo *Eucalyptus* spp (Grupo 4.2), a menos, e com pouca diferença, para o alongamento e para o trabalho estático de ruptura à tração, duas propriedades importantes em papéis para embalagens e sacos (2).

Quanto à sua adequação ao uso das misturas em formulações de papéis para embalagens leves e embrulhos, a literatura mostra que eles precisam atender às seguintes características típicas (tabela 15, Ref.2):

- Comprimento de auto-ruptura, km	3,2	a	3,8
Índice de tração, N.m/g	31,4	a	37,3
- Resist ao arrebentamento, Mullen :	superior a	14	
Ind de arrebentamento, kPa.m ² /g	superior a	1,37	

Pelas figuras de números 7 a 13, nota-se que com o uso de 40% de TMP com pasta química seja de *Eicus* spp seja de *Eucalyptus*, consegue-se valores de resistência superiores aos citados acima. Extrapolando os resultados, pode-se ver que, até com 55% de pasta termomecânica, tais valores são conseguidos.

No caso de embalagens pesadas, dividiu-se a análise em papel kraft comum, papel para sacos e papel capa

O papel kraft comum têm as seguintes características típicas (tabela 16, Ref 2)

- Comprimento de auto-ruptura, km	4,0 a 5,0
Índice de tração, N m/g	39,2 a 49,0
Alongamento --- DM, %	1,7
--- DT, %	3,5
valor médio, %	2,9
Resist ao arrebentamento, Mullen	30 a 50
Ind de arrebentamento, kPa m ² /g	2,94 a 4,90
- Resistência ao rasgo, gf	125
Índice de rasgo, mN m ² /g	12,2
- Porosidade Gurley, s	30

Nota-se, ainda, pelas figuras citadas que valores típicos de índice de tração são atingidos pelas misturas contendo pastas químicas tanto de Pinus como de Eucalyptus e até 40% de TMP. Valores típicos de índice de arrebentamento são obtidos por esta mistura quando a pasta química é de Pinus ~~ver~~. Entretanto, o teor de TMP tem de ser abaixado para 30% ou menos quando a mistura contém só pasta química de Eucalyptus ~~ver~~.

Valores típicos de referência para rasgo não puderam ser atingidos nem com pastas químicas puras.

O valor de 30 segundos para a porosidade Gurley pode ser superado pela mistura contendo 40% de TMP e pasta química de Pinus ~~ver~~. Com Eucalyptus ~~ver~~, só a mistura com 10% de TMP chega perto daquele valor.

Concluindo, conforme utilização deste tipo de papel, pode-se acrescentar cerca de 30% de TMP de Pinus ~~ver~~ e pasta química de Pinus ~~ver~~ e 20% de TMP, no caso de Eucalyptus ~~ver~~, e obter ainda um produto com qualidade de mercado.

Quanto à utilização destas misturas na fabricação de papéis para sacos (Grupo 3 1), têm-se as seguintes características típicas (tabela 17, Ref 2)

	DM	DT
- Comprimento de auto-ruptura, km	6,5	4,1
Índice de tração, N m/g	63,7	52,0
- Alongamento, %	2,5	5,0
- Trabalho de ruptura (dinâmico)	19	28

Os valores típicos de índice de tração foram atingidos com misturas contendo 20% de TMP e pastas químicas tanto de Pinus ~~ver~~ como de Eucalyptus ~~ver~~. Entretanto, o alongamento desejado não foi atingido nem com as pastas químicas puras.

Em termos de trabalho de ruptura (dinâmico), a comparação não foi possível, pois as misturas preparadas não foram submetidas a este ensaio.

Assim, pelas especificações acima e pelas características das misturas não se pode concluir que, na fabricação de papel para saco, seja conveniente adicionar TMP à pasta química tradicionalmente utilizada.

Por falta de informações, os valores típicos aqui tidos como referência (tabela 17, Ref 2) são válidos para a Europa, sendo conveniente levantar as características destes papéis no mercado brasileiro

Um uso importante dos sacos de papel é no acondicionamento de cimento. Características típicas exigidas para este tipo de papel são as seguintes (tabela 18, Ref 2)

- Comprimento de auto-ruptura, km	4,0	a	7,0
Indice de tração, N.m/g	39,2	a	68,6
- Alongamento, %	2,0	a	4,8
- Trabalho estático ruptura	1,5	a	2,8
- Arrebentamento, Mullen	30	a	50
Ind de arrebentamento, kPa.m ² /g	2,94	a	4,90
Resistência ao rasgo:	115	a	165
Indice de rasgo, mN.m ² /g	16,1	a	23,1

Pelas figuras 7 a 13, observa-se que as misturas com 10 e com 20% de TMP e contendo pastas químicas de *Pinus spp* ou de *Eucalyptus spp*, apresentam valores de índice de tração que estão na faixa superior dos valores típicos exigidos para esta propriedade. O alongamento destas misturas fica dentro da faixa dos valores apresentados, mas os índices de arrebentamento e de rasgo, assim como o trabalho estático de ruptura, não atingem os níveis exigidos.

Cabe aqui sugerir um estudo para verificar se papéis extensíveis - papéis que recebem tratamento do tipo "clupac" - podem tolerar ou não em sua formulação uma certa quantidade de pasta termomecânica.

Quanto à utilização das misturas na fabricação de papel capa, tem-se (tabela 24, Ref.2), as seguintes características típicas:

	DM	DT	Valor Médio
- Comprimento de auto-ruptura, km:	8,5	2,5	-----
Indice de tração, N.m/gd	83,3	24,5	-----
- Alongamento, %: 1,5-2,8	3,5-5,6		-----
- Res.Arrebentamento (Mullen)	--	--	42-45
Ind.arrebentamento, kPa.m ² /g	--	--	4,12-4,47
- Resistência ao rasgo	110	130	-----
Ind rasgo, mN.m ² /g	8,3	9,8	-----

Nota-se nas figuras citadas, que estas características não foram atingidas pelas misturas preparadas.

4.3 Misturas para papel miolo

As características físicas das misturas para papel miolo, (Grupo 5.1) com 60 g/m² e 130 g/m², também foram estudadas quanto às suas correlações com o teor de pasta termomecânica e a com a densidade aparente. Nas tabelas 9 e 10, estão as equações obtidas e os valores obtidos por cálculos para cada propriedade estão apresentados nas figuras de números 14 a 21.

Para o papel miolo são importantes as seguintes características(2)

- 1)Rigidez - esmagamento do papelão ondulado - CMT Concora
- resistência ao esmagamento de anel - RCT
- 2)Desempenho - capacidade de suportar os esforços e em máquina deformações a que é submetido na ondulação

A rigidez deste papel depende das seguintes características (2)

- a) do módulo de elasticidade, que por sua vez depende do tipo de matéria-prima e do processo de fabricação da pasta;
- b) da espessura (ou volume específico aparente) e
- c) da gramatura

Quando se propõe a usar fibras de pasta termomecânica, deve-se lembrar que elas são mais rígidas e menos flexíveis que as das pastas químicas. Isto contribue, para que num mesmo nível de gramatura, ao se aumentar o volume específico (redução de densidade), se consiga um aumento da espessura na folha.

Um efeito concomitante a este, é que diminui a resistência mecânica da folha, pois as fibras de pastas termomecânicas apresentam um potencial muito menor de ligação tanto mecânico como químico, que o das pastas químicas (3).

Só com pasta termomecânica, para a gramatura de 130 g/m², já se conseguiu as seguintes características (tabela 4):

- densidade aparente	= 0,320 g/cm ³
- CMT - esmagamento do papel ondulado	= 83 N
- RCT - resist. ao esmagamento de anel	= 115 N
- Rigidez - Taber	= 1,96 mN m

Visando as equações da tabela 10, observa-se com a inclusão de pasta química, estas características respondem muito bem, conforme mostrado a seguir.

Mistura TIP P.K.Eu	Bdensidade aparente g/cm ³	CMT II	RCT II
100 -	0,320 (Base)	84,5 (Base)	119 (Base)
80 20	0,369 (+ 15,31%)	177,8 (+110,41%)	164 (+ 37,81%)
70 30	0,388 (+ 21,25%)	221,0 (+161,54%)	197 (+ 65,54%)
60 40	0,404 (+ 26,25%)	261,8 (+209,82%)	236 (+ 98,32%)
50 50	0,417 (+ 30,31%)	300,2 (+255,27%)	282 (+136,97%)

Observa-se aqui que com 40% de pasta química de *Eucalyptus* S2P, o papel miolo obtido apresenta características de rigidez, CMT e RCT, superiores aos valores mínimos considerados bons por algumas indústrias brasileiras do setor.

Comparando-se com as especificações espanholas (tabela 27, Ref 2), a mistura para o papel miolo obtida com a inclusão de 40% de pasta química, na gramatura de 130 g/m², apresenta uma qualidade equivalente ao papel miolo tipo I, de primeira qualidade. Com 20% de pasta química, as características obtidas suplantam aquelas de papéis de terceira.

Segundo as equações da tabela 10, para esta gramatura, tem-se para os índices de tração, rasgo e arrebentamento, o seguinte

Mistura IHP P.K Eu %	I Tração N m/g	I Rasgo mH m ² /g	I Arrebentamento kPa m ² /g
100	18,3 (Base)	4,98 (Base)	0,92 (Base)
80 20	30,4 (+ 66,12%)	7,05 (+ 41,57%)	1,41 (+ 53,26%)
70 30	36,0 (+ 96,72%)	7,80 (+ 50,21%)	1,67 (+ 81,52%)
60 40	41,4 (+126,23%)	8,57 (+ 72,09%)	1,94 (+110,87%)
50 50	46,4 (+153,55%)	9,13 (+ 83,33%)	2,22 (+141,30%)

Quanto ao índice de arrebentamento, a mistura contendo 30% de pasta química apresenta um índice de 1,67 kPa m²/g (índice de Mullen = 17), que não difere dos valores típicos encontrados para os papéis miolo fabricados com pastas ou matérias-primas diferentes (tabela 26, Ref 2)

Quanto ao índice de tração e alongamento, apenas com 20% de pasta química já se consegue valores, respectivamente de 30,4 N m/g e 1,5%, atendendo as especificações espanholas (tabela 27, Ref 2), ou seja, para folha de 130 g/m², um nível mínimo de índice de tração de 27,6 N.m/g (5,5 kgf) e 1,5% de alongamento

4.4 Misturas para papéis sanitários

Num diagrama ternário de pastas, estão alocadas, figura 22, as misturas preparadas para a fabricação de papéis sanitários (Grupo 4.1)

Analizando somente as misturas com pasta termomecânica e pasta química, tem-se nas figuras 23 a 25, respectivamente, índices de tração, de rasgo e de arrebentamento, em função da composição das misturas. Observa-se nestas figuras uma queda da resistência com o aumento do teor de pasta termomecânica na mistura.

Tomando-se da tabela 5 os dados obtidos para a gramatura de 25 g/m² com as misturas para estes papéis os dados obtidos com massa para a fabricação de papel sanitário de mercado e da tabela 33, Ref 2, construiu-se a tabela 11. Indica-se nesta tabela as características das misturas que foram inferiores àquelas características obtidas para o papel sanitário de qualidade média.

A pasta termomecânica, devido ao maior teor de extrativos residuais, apresenta pouca velocidade de absorção de líquidos, o que é mostrado pelos resultados do ensaio de ascensão capilar, que foram inferiores ao valor apresentado pela massa destinada à fabricação do papel de qualidade média.

Em função das demais propriedades, têm-se as seguintes misturas cujas características foram superiores às do papel de qualidade média

Mistura Nº	Composição				
	(TMP-PT-BR/PK-PI-BR/			PM - PI-BR)	
94	60	/	40	/	0
100	30	/	55	/	15
101	40	/	45	/	15
102	50	/	35	/	15
104	30	/	60	/	10
108	30	/	50	/	20
109	40	/	40	/	20
110	50	/	30	/	20

Pela tabela ii, vê-se que elas não se diferem muito, a menos do índice de arrebentamento. Descartando, aquelas com menores índices de arrebentamento, fica-se com as seguintes misturas

Mistura Nº	Composição				
	(TMP-PT-BR/PK-PI-BR/			PM - PI-BR)	
94	60	/	40	/	0
100	30	/	55	/	15
104	30	/	60	/	10
108	30	/	50	/	20

Da tabela acima, a escolha daquela considerada como mais adequada quanto aos custos de formulação, sendo de um modo geral o uso díquelas misturas que contenham cerca de 30% de pasta termomecânica e o maior teor de pasta mecânica de mó. Esta mistura tem o número 108.

5 CONCLUSÃO

Como se procurou mostrar neste trabalho, pastas termomecânicas obtidas a partir de madeira de *Pinus taeda* podem ser usadas nas formulações de vários papéis, sem que isto, afete suas especificações de mercado. Entretanto, as observações aqui apresentadas são o ponto de partida, sendo que as conclusões definitivas deverão ser levantadas em ensaios de desempenho em máquina.

6 BIBLIOGRAFIA

- (1) NEVES,J M ; LIMA, A F ; ASSUMPCÃO, R M V ; Características básicas de pastas de alto rendimento, conforme sua utilização; O Papel 48 (11): 93 - 103 (1987)
- (2) NEVES,J.M.; BERGMAN, S.; BARROTTI, S .B ; BUGAJER, S , Características básicas de papéis que recebem ou podem vir a receber pastas de alto rendimento - Par - em sua formulação; O Papel 48(11): 73 - 92 (1987)

- (3) NEVES, J. M ; HIUMI, O Ozonização de pastas mecânicas
Uma revisão; O Papel 49 (9)-48-53(1986)
- (4) SAGRISTÁ, J M Ensayos físico-mecânicos del papel
Aboy (Espanha) Marfil 1972
- (5) GIERTZ, H Aulas ministradas, Iº Curso Panamericano
IPT/CTCP, São Paulo, 1983

AGRADECIMENTOS

O autor agradece a colaboração dos colegas do CTCP/IPT, ao
FIPPEC do Banco do Brasil S/A; às Empresas que participaram do
PROJETO PAR e à ANFFPC

Tabela 1 Características físico-mecânicas e ópticas de misturas para papéis para imprimir e escrever - Grupo 2.1

MISTURA	FIG.	53	54	55	56	57	THP-PI-BR	PI-PI-BR
THP - PI - BR / PK - EU - BR		10/90	20/80	30/70	40/60	50/50	100/0	0
Gramatura nominal, g/m ²		60	60	60	60	60	60	60
Drenabilidade CSF, mL								
Resistência à drenagem, %SR		42	42	43	44	45	60	41
Gramatura, g/m ²		58,3	58,0	58,4	59,6	59,5	59,0	60,4
Espessura, mm		0,112	0,118	0,124	0,130	0,145	0,175	0,103
Volume específico aparente, cm ³ /g		1,91	2,04	2,13	2,33	2,44	2,97	1,70
Densidade aparente, g/cm ³		0,523	0,490	0,469	0,479	0,480	0,337	0,580
Índice de tração, N/m/g (gf.m/g)		61,5 (6273)	58,5 (5658)	49,1 (5011)	46,7 (4672)	41,0 (4178)	23,0 (2342)	68,6 (7098)
Alongamento, %		4,1	4,0	3,3	2,8	2,5	1,1	4,6
Índice de rasgo, mN.m ² /g (gf.cm ² /100g)		11,1 (113)	8,23 (83,8)	7,04 (80,0)	7,05 (71,8)	6,55 (67,8)	4,46 (45,5)	10,8 (110)
Índice de arrastamento, kPa.m ² /g (gf/cm ² .g/m ²)		4,02 (41,0)	3,66 (31,3)	2,21 (32,7)	2,57 (27,3)	2,21 (22,5)	1,03 (10,5)	4,20 (41,6)
ACT	N (kgf)	-	-	-	-	-	-	-
	Ibf	-	-	-	-	-	-	-
CMT	N (kgf)	-	-	-	-	-	-	-
	Ibf	-	-	-	-	-	-	-
Rigidez Taber, cNm (gf.cm)								
Altura ISO, Elrepho, filtro 457, S		79,3	76,1	73,9	71,6	69,6	64,9	82
Ocasião	Elrepho, S	81,6	83,6	84,9	86,4	87,6	89,1	
C.E.L., SCAN, m ² /kg		42,6	48,3	46,4	47,0	48,2	50,0	
Reversão, 4 horas, S		2,7	2,5	1,9	1,8	3,3	3,0	
Resistência ao ar, Gurley, s/100 mL		26,6	25,3	16,9	12,2	12,3	9,0	9,0
Compressibilidade Bandtsen, S		67,0	63,9	62,4	64,3	60,9	61,6	55,7

OBS. 1 N.L. - não se obtinha leitura no aparelho
 C.E.L. - coeficiente de esfaldamento de lyc
 C.R.T. - resistência ao esmagamento do anel
 C.M.T. - esmagamento do papel ondulado, Concora

THP - Pasta termométrica
 PK - Pasta kraft
 PI - Pasta mecanica

PI - Pinus spp.
 PI - Pinus taeda
 EU - Eucalyptus spp
 BR - Brancueada
 NB - Não branqueada

Tabela 2 Características físico-mecânicas e ópticas de misturas para papéis para embalagens e caixas (Grupo 4.1) e para sacos (Grupo 3.1)

MISTURA	FIG.	PK-PI	78+71	79+72	80+73	81	THP-BI
		0/100	10/90	20/80	30/70	40/60	100/0
Gramatura nominal, g/m ²		60	60	60	60	60	
Drenabilidade CSF, mL		-	-	-	-	-	130
Resistência à drenagem, %SR		30	31	37	40	41	39
Gramatura, g/m ²		57,6	59,9	58,6	60,6	59,7	67
Espessura, mm		0,113	0,126	0,137	0,150	0,155	0,203
Volume específico aparente, cm ³ /g		1,96	2,10	2,34	2,48	2,60	3,24
Densidade aparente, g/cm ³		0,510	0,476	0,427	0,403	0,385	0,399
Índice de tração, N/m/g (gf.m/g)		78,0 (7959)	68,0 (6931)	61,8 (6304)	62,2 (6341)	46,6 (4756)	38,8 (3923)
Alongamento, %		2,9	2,4	2,4	2,2	1,8	0,5
Índice de rasgo, mN.m ² /g (gf.cm ² /100g)		10,9 (111)	11,0 (112)	10,2 (104)	10,4 (106)	10,1 (101)	3,50 (35,7)
Índice de arrastamento, kPa.m ² /g (gf/cm ² .g/m ²)		5,58 (56,8)	4,72 (48,1)	4,32 (44,7)	3,89 (39,7)	3,33 (34,0)	0,94 (9,6)
ACT	N (kgf)	-	-	-	-	-	-
	Ibf	-	-	-	-	-	-
CMT	N (kgf)	-	-	-	-	-	-
	Ibf	-	-	-	-	-	-
Rigidez Taber, cNm (gf.cm)		-	-	-	-	-	43
Altura ISO, Elrepho, filtro 457, S		-	-	-	-	-	97,0
Ocasião	Elrepho, S	-	-	-	-	-	46,0
C.E.L., SCAN, m ² /kg		-	-	-	-	-	
Reversão, 4 horas, S		-	-	-	-	-	
Resistência ao ar, Gurley, s/100 mL		-	-	-	-	-	
Trabalho estático de ruptura à tração, cm.kgf		1,308	0,980	0,871	0,829	0,502	0,059

OCS. 1 N.L. - não se obtinha leitura no aparelho
 C.E.L. - coeficiente de esfaldamento de lyc
 C.R.T. - resistência ao esmagamento do anel
 C.M.T. - esmagamento do papel ondulado, Concora

THP - Pasta termométrica
 PK - Pasta kraft
 PI - Pasta mecanica

PI - Pinus spp.
 PI - Pinus taeda
 EU - Eucalyptus spp
 BR - Brancueada
 NB - Não branqueada

Tabela 3 - Características físico-mecânicas e ópticas de misturas para papéis para embalagens e capas - Grupo 4.2

MISTURA	FIG.	PK		EU		B2		B3		B4		B5		IMP. PT	
		0/100	10/90	20/80	30/70	40/60	50/50	60/40	70/30	80/20	90/10	100/0	60	60	60
Gramatura nominal, g/m ²		60	60	60	60	60	60	60	60	60	60	60			
Drenabilidade CSF, mL															30
Resistência à drenagem, °SR		43	39	39	39	39	39	42	42	42	42	42			53
Gramatura, g/m ²		61,0	60,3	59,3	58,3	58,3	58,3	59,8	59,8	59,8	59,8	59,8			62,7
Elosaureza, mm		0,116	0,130	0,139	0,146	0,154	0,154	0,154	0,154	0,154	0,154	0,154			0,203
Volume específico aparente, cm ³ /g		1,90	2,16	2,34	2,50	2,65	2,65	2,65	2,65	2,65	2,65	2,65			3,24
Densidade aparente, g/cm ³		0,526	0,463	0,427	0,400	0,377	0,377	0,377	0,377	0,377	0,377	0,377			0,309
Índice de tração, N/m/g (gf.m/g)		75,4 (76,94)	71,6 (72,79)	61,1 (62,30)	55,3 (55,40)	51,2 (52,18)	48,8 (49,76)	48,8 (49,76)	48,8 (49,76)	48,8 (49,76)	48,8 (49,76)	48,8 (49,76)			18,8 (19,23)
Alongamento, %		3,0	2,8	2,6	2,4	2,2	2,2	2,2	2,2	2,2	2,2	2,2			0,5
Índice de rasgo, mN.m ² /g (gf.m ² /100g)		6,38 (65,5)	8,43 (86,0)	7,88 (80,4)	7,11 (72,5)	7,19 (73,3)	7,19 (73,3)	7,19 (73,3)	7,19 (73,3)	7,19 (73,3)	7,19 (73,3)	7,19 (73,3)			3,52 (35,7)
Índice de arranqueamento, kPa.m ² /g (gf/cm ² .g/m ²)		4,15 (42,3)	3,80 (38,7)	3,26 (33,4)	2,91 (29,7)	2,61 (28,6)	2,61 (28,6)	2,61 (28,6)	2,61 (28,6)	2,61 (28,6)	2,61 (28,6)	2,61 (28,6)			0,94 (9,8)
RCI	N (kgf)	-	-	-	-	-	-	-	-	-	-	-			
	Ibf	-	-	-	-	-	-	-	-	-	-	-			
CNT	N (kgf)	-	-	-	-	-	-	-	-	-	-	-			49,2
	Ibf	-	-	-	-	-	-	-	-	-	-	-			37,0
Rigidida Taber, mN (gf.cm)	-	-	-	-	-	-	-	-	-	-	-	-			46,0
Alvura ISO, Eirepo, filtro 457, %															
Obedade Eirepo, %															
L.E.L. SCAN, g ² /kg															
Reversão, 4 horas, %															
Resistência ao ar, Gurley, s/100 mL		41,5	27,4	18,9	15,0	13,1	13,1	13,1	13,1	13,1	13,1	13,1			
Trabalho estático de ruptura à tração, cm.kgf		1,383	1,207	0,948	0,775	0,674	0,674	0,674	0,674	0,674	0,674	0,674			0,059

OBS: N.L. - não se obteve leitura no aparelho
 C.R.I. - coeficiente de esmagamento do anel
 R.C.I. - resistência ao esmagamento da anel
 C.M.T. - esmagamento do papel endulado, Concors

IMP. - Pasta termomecânica
 PK - Pasta Kraft
 PMG - Pasta mecânica

P - Pinus spp.
 PT - Pinus taeda
 EU - Eucalyptus spp.
 BR - Branequade
 NB - Não branequade

Tabela 4 - Características físico-mecânicas e ópticas de misturas para papel misto (Grupo 5.1)

MISTURA	FIG.	63		64		65		66		IMP. PT		
		80/20	10/90	70/30	60/40	50/50	60	130	60	130	60	130
Gramatura nominal, g/m ²		60	130	60	130	60	60	130	60	130	60	130
Drenabilidade CSF, mL											361	361
Resistência à drenagem, °SR		40	41	38	39	38	37	36	37	30	30	30
Gramatura, g/m ²		59,1	129	57	132	59,3	129	58,9	132	61,9	61,9	61,9
Elosaureza, mm		0,202	0,346	0,190	0,342	0,186	0,317	0,178	0,317	0,223	0,223	0,206
Volume específico aparente, cm ³ /g		40	3,42	2,70	3,33	2,59	3,14	2,47	3,02	2,10	2,10	3,12
Densidade aparente, g/cm ³		41	0,292	0,370	0,300	0,386	0,318	0,405	0,331	0,417	0,417	0,320
Índice de tração, N/m/g (gf.m/g)		42	24,2(2470)	32,2(3284)	31,3(3191)	35,6(3634)	37,2(3790)	39,3(4011)	43,9(4479)	47,6(4850)	48,0(5097)	47,8(4817)
Alongamento, %		43	1,4	1,5	1,5	1,6	2,0	3,9	2,2	2,0	0,5	1,2
Índice de rasgo, mN.m ² /g (gf.m ² /100g)		44	5,74(58,5)	6,77(69,0)	5,50(56,1)	7,70(70,5)	6,67(68,0)	9,25(94,3)	7,14(72,8)	8,80(89,7)	3,55(36,2)	5,08(51,8)
Índice de arranqueamento, kPa.m ² /g (gf/cm ² .g/m ²)		45	1,36(13,9)	1,42(14,5)	1,34(13,7)	1,67(17,0)	2,00(20,4)	1,93(19,7)	2,29(23,4)	2,23(22,7)	0,76(7,75)	0,92(9,43)
RCI	N (kgf)	46	-	176 (18,0)	-	201 (20,5)	-	212 (21,6)	-	294 (30,0)	-	115 (11,7)
	Ibf	-	-	39,6	-	45,18	-	47,6	-	66,1	-	25,8
CNT	N (kgf)	-	-	176 (18,2)	-	232 (23,7)	-	245 (25,0)	-	307 (31,3)	-	43,4 (8,5)
	Ibf	-	-	40,0	-	52,1	-	55,1	-	69,0	-	18,7
Rigidida Taber, mN (gf.cm)	-	-	-	2,12(21,6)	-	2,19(22,3)	-	2,24(22,6)	-	2,16(22,0)	-	1,96(20,0)
Alvura ISO, Eirepo, filtro 457, %											48,0	
Obedade Eirepo, %											95,0	
L.E.L. SCAN, g ² /kg											39,0	
Reversão, 4 horas, %												
Resistência ao ar, Gurley, s/100 mL		0,201	0,824	0,260	0,754	0,642	0,966	0,570	1,258	0,049	0,278	

OBS: N.L. - não se obteve leitura no aparelho
 C.R.I. - coeficiente de esmagamento do anel
 R.C.I. - resistência ao esmagamento da anel
 C.M.T. - esmagamento do papel endulado, Concors

IMP. - Pasta termomecânica
 PK - Pasta Kraft
 PMG - Pasta mecânica
 N = 0,2248 + Ibf

P - Pinus spp.
 PT - Pinus taeda
 EU - Eucalyptus spp.
 BR - Branequade
 NB - Não branequade

Tabela 5 A. Características físico-mecânicas de misturas para papéis para fins sanitários - Grupo 6.1

MISTURA	FIG.	94		95		96		100	
TMP-PT-BR / PK-EU-BR / PMG-PI-		60/40/0		70/30/0		80/20/0		30/55/15	
Gramatura nominal, g/m ²		60	25	60	25	60	25	60	25
Drenabilidade CSF, mL		-	-	-	-	-	-	200	200
Resistência à drenagem, %SR		54	52	59	54	62	62	44	44
Gramatura, g/m ²		58,6	24,8	59,0	24,7	59,6	25,9	61,5	24,5
Escoamento, mm		0,146	0,080	0,154	0,080	0,159	0,086	0,161	0,072
Volume específico aparente, cm ³ /g		2,49	3,22	2,61	3,24	2,67	3,32	2,29	2,92
Densidade aparente, g/cm ³		0,402	0,310	0,383	0,309	0,374	0,301	0,437	0,342
Índice de tração, N/m/g (gf.m/g)		45,6 (4655)	31,7 (3233)	39,1 (3985)	28,4 (2898)	35,8 (3648)	20,0 (2036)	34,9 (3557)	32,8 (3348)
Alongamento, %		1,9	N.L.	1,4	N.L.	1,0	N.L.	2,6	N.L.
Índice de resso, mN.m ² /g (gf.m ² /100g)		6,70 (69,3)	5,80 (59,2)	6,22 (63,4)	4,83 (49,3)	4,89 (49,9)	3,88 (39,6)	6,13 (62,5)	5,87 (59,9)
Índice de arrastamento, kPa.m ² /g (gf/cm ² .g/m ²)		2,37 (24,2)	2,24 (22,9)	1,98 (20,2)	1,86 (19,0)	1,76 (18,0)	1,36 (22,8)	2,24 (22,8)	2,00 (20,4)
RCT	N (kgf)	-	-	-	-	-	-	-	-
	1bf	-	-	-	-	-	-	-	-
CMT	N (kgf)	-	-	-	-	-	-	-	-
	1bf	-	-	-	-	-	-	-	-
Rigidez Taber, mN.m (gf.cm)		-	-	-	-	-	-	-	-
Alvura ISO, Elrepho, filtro 457, %		-	-	-	-	-	-	67,0	-
Opacidade Elrepho, %		-	-	-	-	-	-	91,6	-
C.E.L., SCAN, m ² /kg		-	-	-	-	-	-	50,7	-
Índice de tração a úmido, N/m/g (gf.m/g)		N.L.	N.L.	N.L.	N.L.	N.L.	N.L.	1,29 (132)	-
Ascenção capilar, mm		62,5	67,8	65,7	74,8	63,0	73,0	67,5	-
pH do extrato aquoso		6,4	-	6,6	-	6,5	-	-	-
Hectaz Gurley, seg / 50 mL		13,4	17,1	19,6	15,8	15,2	16,0	20,0	8,4

OBS.: N.L. - não se obtinha leitura no aparelho
C.E.L. - coeficiente de espaçamento de liga
C.R.T. - resistência ao esmagamento do anel
C.M.T. - esmagamento do papel ondulado, Concora

TP - Pasta termomecânica
PK - Pasta kraft
PMG - Pasta mecânica

PI - Pinus spp
PT - Pinus taeda
EU - Eucaliptus spp
BR - Brancouada
NB - Não branqueada

Tabela 5 B. Características físico-mecânicas e ópticas de misturas para papéis para fins sanitários - Grupo 6.1

MISTURA	FIG.	101		102		103		104	
		40/45/15		50/35/15		60/25/15		30/60/10	
Gramatura nominal, g/m ²		60	25	60	25	60	25	60	25
Drenabilidade CSF, mL		152	152	118	118	107	107	-	-
Resistência à drenagem, %SR		52	52	53	53	62	62	47	47
Gramatura, g/m ²		60,4	24,2	60,9	23,2	67,1	24,8	59,8	23,9
Escoamento, mm		0,139	0,060	0,131	0,061	0,170	0,077	0,130	0,042
Volume específico aparente, cm ³ /g		2,14	2,48	2,16	2,63	2,54	3,10	2,16	2,60
Densidade aparente, g/cm ³		0,467	0,403	0,463	0,380	0,394	0,322	0,463	0,385
Índice de tração, N/m/g (gf.m/g)		36,9 (3758)	26,2 (2684)	31,9 (3287)	26,0 (2648)	30,1 (3068)	23,0 (2349)	45,8 (4671)	33,8 (3467)
Alongamento, %		2,3	1,9	1,8	1,4	1,2	1,0	2,3	1,5
Índice de resso, mN.m ² /g (gf.m ² /100g)		6,07 (61,9)	5,12 (62,5)	5,39 (55,0)	5,42 (55,3)	5,23 (54,4)	3,28 (33,4)	6,77 (69,0)	5,78 (59,0)
Índice de arrastamento, kPa.m ² /g (gf/cm ² .g/m ²)		1,78 (18,2)	1,62 (16,5)	1,57 (16,0)	1,26 (12,9)	1,46 (14,9)	1,19 (12,1)	2,46 (25,1)	2,05 (20,9)
RCT	N (kgf)	-	-	-	-	-	-	-	-
	1bf	-	-	-	-	-	-	-	-
CMT	N (kgf)	-	-	-	-	-	-	-	-
	1bf	-	-	-	-	-	-	-	-
Rigidez Taber, mN.m (gf.cm)		-	-	-	-	-	-	-	-
Alvura ISO, Elrepho, filtro 457, %		64,3	-	64,6	-	64,5	-	68,0	-
Opacidade Elrepho, %		92,2	-	92,8	-	90,6	-	90,0	-
C.E.L., SCAN, m ² /kg		-	-	51,8	-	-	-	-	-
Índice de tração a úmido, N/m/g (gf.m/g)		-	-	1,32 (135)	-	N.L.	0,79 (80,9)	N.L.	0,89 (90,0)
Ascenção capilar, mm		-	-	49,0	65,0	52,6	62,5	52,1	54,2
pH do extrato aquoso		-	-	-	-	-	-	-	-
Hectaz Gurley, seg / 50 mL		21,2	19,0	19,2	18,2	18,4	19,7	18,4	19,1

OBS.: N.L. - não se obtinha leitura no aparelho
C.E.L. - coeficiente de espaçamento de liga
C.R.T. - resistência ao esmagamento do anel
C.M.T. - esmagamento do papel ondulado, Concora

TP - Pasta termomecânica
PK - Pasta kraft
PMG - Pasta mecânica

PI - Pinus spp
PT - Pinus taeda
EU - Eucaliptus spp
BR - Brancouada
NB - Não branqueada

Tabela 5.C Características físico-mecânicas e ópticas de misturas para papéis para fins sanitários - Grupo 6.1

MISTURA TMP-PT-BR / PK-EU-BR / PMG-PI	FIG.	105		106		107		108	
		40/50/10		50/40/10		60/30/10		30/50/20	
		60	25	60	25	60	25	60	25
Gramatura nominal, g/m ²		60	25	60	25	60	25	60	25
Drenabilidade CSF, mL		106	106	142	142	114	114	167	162
Resistência à drenagem, %SR		49	49	53	53	62	62	48	48
Gramatura, g/m ²		59,6	24,3	60,4	24,6	62,0	24,4	59,8	23,9
Espessura, mm		0,135	0,070	0,142	0,072	0,155	0,078	0,131	0,067
Volume específico aparente, cm ³ /g		2,22	2,86	2,34	2,90	2,50	3,72	2,23	2,79
Densidade aparente, g/cm ³		0,450	0,350	0,427	0,348	0,400	0,310	0,446	0,358
Índice de tração, N.m/g (gf.m/g)		41,6 (4191)	30,3 (3088)	31,3 (3192)	21,6 (2198)	28,5 (2905)	22,4 (2283)	42,4 (4339)	32,4 (3305)
Alongamento, %		8,1	1,1	2,2	1,7	1,8	N.L.	1,0	1,3
Índice de resco, m.h.m ² /g (gf.m ² /100g)		6,27 (63,9)	3,76 (48,5)	6,07 (61,9)	4,06 (41,4)	5,78 (58,9)	3,86 (39,4)	7,14 (72,8)	5,78 (58,9)
Índice de arranqueamento, kPa.m ² /g (gf/cm ² .g/m ²)		2,14 (21,0)	1,61 (16,4)	1,78 (18,2)	1,59 (16,2)	1,65 (16,8)	1,21 (12,3)	1,97 (20,1)	1,05 (20,9)
RCT	N (kgf)								
	lbf								
CNT	N (kgf)								
	lbf								
Rigidez Taber, mN (gf.cm)									
Altura ISO, Eirope, filtro 457, %		67,3		65,6		65,8		63,9	
Oscilidade Eirope, %		98,2		98,5		91,6		98,9	
C.E.L. SCAN, m ² /kg				51,3					
Índice de tração a úmido, N.m/g (gf.m/g)		1,04 (106)	N.L.	0,93 (95,2)	N.L.	0,78 (79,1)	N.L.	0,35 (139)	N.L.
Ascenção capilar, mm		59,0	70,0	53,0	61,0	53,0		46,2	64,9
pH do extrato aquoso									
Maciez Gurley, s/50 mL		20,5	21,0	22,1	18,1	13,6	16,5	22,0	21,0

OBS.: N.L. - não se pôde leitura no aparelho
 C.E.L. - coeficiente de escalfamento de luto
 R.C.T. - resistência ao esmagamento do anel
 C.M.T. - esmagamento do papel ondulado, Concore

TM - Pasta termométrica
 PK - Pasta kraft
 PMG - Pasta mecânica
 PI - Pinus spp
 PT - Pinus taeda
 EU - Eucalyptus spp
 BR - Braniquedade
 NB - Não branqueada

Tabela 5.D Características físico-mecânicas e ópticas de misturas para papéis para fins sanitários - Grupo 6.1

MISTURA TMP-PT-BR / PK-EU-BR / PMG - PI	FIG.	109		110		111	
		40/40/20		50/30/20		50/20/30	
		60	25	60	25	40	25
Gramatura nominal, g/m ²		105	105	165	165	147	147
Drenabilidade CSF, mL		46	46	50	50	57	57
Resistência à drenagem, %SR		59,2	23,6	60,6	24,1	58,7	23,0
Gramatura, g/m ²		0,131	0,067	0,144	0,067	0,147	0,074
Espessura, mm		2,21	2,84	2,38	2,78	2,50	3,22
Volume específico aparente, cm ³ /g		0,452	0,352	0,420	0,360	0,400	0,319
Densidade aparente, g/cm ³		38,5 (3312)	28,6 (2506)	29,4 (2999)	22,7 (2311)	27,6 (2811)	16,7 (1702)
Índice de tração, N.m/g (gf.m/g)		3,8	1,3	1,8	1,4	1,7	1,0
Alongamento, %		8,93 (60,5)	8,07 (51,7)	6,10 (62,2)	4,78 (48,6)	5,08 (51,7)	4,23 (43,1)
Índice de resco, m.h.m ² /g (gf.m ² /100g)		1,99 (20,3)	1,66 (16,9)	1,78 (18,1)	1,22 (12,4)	1,33 (13,6)	0,85 (8,69)
Índice de arranqueamento, kPa.m ² /g (gf/cm ² .g/m ²)		RCT	N (kgf)	lbf	lbf	lbf	lbf
		-	-	-	-	-	-
		-	-	-	-	-	-
		-	-	-	-	-	-
Rigidez Taber, mN (gf.cm)							
Altura ISO, Eirope, filtro 457, %		65,7		65,2		64,5	
Oscilidade Eirope, %		91,4		92,5		92,0	
C.E.L. SCAN, m ² /kg		52,8		53,8		53,4	
Índice de tração a úmido, N.m/g (gf.m/g)		1,44 (146)	N.L.	1,56 (159)	N.L.	1,17 (119)	N.L.
Ascenção capilar, mm		59,0	81,0	57,0	61,0	55,0	59,0
pH do extrato aquoso		-	-	-	-	-	-
Maciez Gurley, s/50 mL		16,9	18,5	19,1	18,3	18,3	16,0

OBS.: N.L. - não se pôde leitura no aparelho
 C.E.L. - coeficiente de escalfamento de luto
 R.C.T. - resistência ao esmagamento do anel
 C.M.T. - esmagamento do papel ondulado, Concore

TM - Pasta termométrica
 PK - Pasta kraft
 PMG - Pasta mecânica
 PI - Pinus spp
 PT - Pinus taeda
 EU - Eucalyptus spp
 BR - Braniquedade
 NB - Não branqueada

TABELA 6 : Equações obtidas a partir das características físico-mecânicas e ópticas das misturas destinadas à fabricação de papéis para imprimir e escrever, em função do teor de pasta termomecânica e da densidade aparente da folha.

Densidade aparente (DA) = $f(x=z; TMP)$	DA (g/m ³) = $5.6341 \cdot 10^{-1}$	-3.1124.10 ⁻³ .X	+9.1084.10 ⁻³ .X ²	R ₁ = 0,9424
Índice de tração (IT) = $f(x=z; TMP)$	IT (N.m/g) = $6.8619 \cdot 10^2$	-6.6248.10 ⁻¹ .X	+2.141.10 ⁻³ .X ²	R ₂ = 0,9978
Índice de tração (IT) = $f(y=DA)$	IT (N.m/g) = $-5.0030.10^1$	2.4021.10 ⁻³ .Y	-6.2180.10 ⁻¹ .Y ²	R ₃ = 0,9466
Índice de rasgo (IR) = $f(x=z; TMP)$	IR (mN.m ² /g) = $1.1199.10^1$	-1.2074.10 ⁻¹ .X	+5.7550.10 ⁻¹ .X ²	R ₂ ,J = 0,9700
Índice de rasgo (IR) = $f(y=DA)$	IR (mN.m ² /g) = -2.6537	1.7550.10 ⁻¹ .Y	+1.0891.10 ⁻¹ .Y ²	R ₄ = 0,9103
Índice de arrebentamento (IA) = $f(x=z; TMP)$	IA (kPa.m ² /g) = 4.4201	-4.3976.10 ⁻² .X	+1.3764.10 ⁻⁴ .X ²	R ₄ ,E = 0,9946
Índice de arrebentamento (IA) = $f(y=DA)$	IA (kPa.m ² /g) = $-2.5172.10^{-1}$	-3.6173.10 ⁻² .Y	+1.4135.10 ⁻¹ .Y ²	R ₅ = 0,9504
Alvura ISO (AI) = $f(x=z; TMP)$	AI (%) = $8.2207.10^1$	-3.2240.10 ⁻¹ .X	+1.5420.10 ⁻¹ .X ²	R ₆ ,J = 0,9997
Alvura ISO (AI) = $f(y=DA)$	AI (%) = $5.3119.10^1$	+1.5158.10 ⁻¹ .Y	+5.9335.10 ⁻¹ .Y ²	R ₃ = 0,9307
Coeficiente de estalhamento de luz (CEL) = $f(x=z; TMP)$	CEL(m ² /kg) = $4.0552.10^1$	+2.2463.10 ⁻¹ .X	-1.3238.10 ⁻³ .X ²	R ₂ ,9 = 0,9834
Coeficiente de estalhamento de luz (CEL) = $f(y=DA)$	CEL(m ² /kg) = $3.6937.10^1$	46.2327.10 ⁻¹ .Y	-1.3217.10 ⁻¹ .Y ²	R ₁₁ = 0,9552
				R ₁₀ ,11*

OBSERVAÇÃO: R_i = coeficiente de correlação
R_{ij} = coeficiente de correlação parcial de i, quando j é constante

TABELA 7 : Equações obtidas a partir das características físico-mecânicas das misturas de pasta kraft de Pinus spp., destinadas à fabricação de papéis para sacos (grupo 3.1), embalagens e caba (grupo 4.1), em função do teor de pasta termomecânica e da densidade aparente da folha.

Densidade aparente (DA) = $f(x=z; TMP)$	DA (g/m ³) = $5.0963.10^{-1}$	-4.1079.10 ⁻³ .X	+2.1060.10 ⁻⁵ .X ²	R ₁ = 0,9970
Índice de tração (IT) = $f(x=z; TMP)$	IT (N.m/g) = $7.7195.10^1$	-7.3878.10 ⁻¹ .X	+1.5375.10 ⁻³ .X ²	R ₂ = 0,9890
Índice de tração (IT) 2 f(y=DA)	IT (N.m/g) = $-2.3201.10^2$	+1.1235.10 ⁻³ .Y	-1.0263.10 ⁻³ .Y ²	R ₃ = 0,9827
Alongamento (AL) = $f(x=z; TMP)$	AL (%) = 2.8221	-2.4479.10 ⁻² .X	+1.2556.10 ⁻⁵ .X ²	R ₄ = 0,9919
Alongamento (AL) = $f(y=DA)$	AL (%) = $-1.0842.10^1$	+5.2316.10 ⁻¹ .Y	-5.0279.10.10.Y ²	R ₅ = 0,9833
Índice de rasgo (IR) = $f(x=z; TMP)$	IR (mN.m ² /g) = $1.0826.10^1$	+9.1251.10 ⁻³ .X	-8.2169.10 ⁻⁴ .X ²	R ₆ = 0,9962
Índice de rasgo (IR) = $f(y=DA)$	IR (mN.m ² /g) = $-5.8127.10^0$	+3.0050.10 ⁻² .Y	-3.2497.10.10.Y ²	R ₇ = 0,9845
Índice de arrebentamento (IA) = $f(x=z; TMP)$	IA (kPa.m ² /g) = 5.4708	-5.9465.10 ⁻² .X	+1.4218.10 ⁻⁴ .X ²	R ₈ = 0,9981
Índice de arrebentamento (IA) = $f(y=DA)$	IA (kPa.m ² /g) = $-1.6992.10^1$	+8.0077.10 ⁻¹ .Y	-7.0932.10.10.Y ²	R ₉ = 0,9934
Trabalho estatístico de ruptura à tração (TE)	TE (cm.kgf) = 1.2674	-2.1195.10 ⁻² .X	+9.1006.10 ⁻⁵ .X ²	F ₁₀ = 0,9857
(TE) = f(x=z; TMP)	TE (cm.kgf) = -3.1241	+1.2967.10 ⁻¹ .Y	-8.5680.10 ⁻² .Y ²	F ₁₁ = 0,9771
(TE) = f(y=DA)				F ₁₀ ,11*

OBSERVAÇÃO: R_i = coeficiente de correlação
R_{ij} = coeficiente de correlação parcial de i, quando j é constante

TABELA 1

Equações obtidas para as características fílico-mecânicas das misturas de pasta de massa com folha de eucalipto SCD, destinadas à fabricação de pão (grupo 1), em função do teor de pasta (x) e da densidade aparente da farinha (DA).

Densidade aparente DA, g/cm ³	5,730	j	-4,446	x	+2,5699	0	r	R	0,9954
Índice de tração (IT) = f(x=z; TMP)	IT (N.m/g) =	7,6050 10 ⁻²	-6,9878 10 ⁻²	x	+1,2630 10 ⁻²	y ²	R ₁	R ₁	0,9976
Índice de tração (IT) = f(y=DA)	IT (N.m/g) =	-2,4904 10 ⁻²	+1,2277 10 ⁻²	x	-1,1604 10 ⁻²	y ²	R ₂	R ₂	0,9968
Alongamento (AL) = f(x=z; TMP)	AL (cm) =	2,9868	-1,7003 10 ⁻²	x	-7,8473 10 ⁻⁴	x ²	R ₃	R ₃	0,9999
Alongamento (AL) = f(y=DA)	AL (cm) =	-1,4248 10	+6,9707 10 ⁻²	y	-0,0416 10 ⁻²	y ²	R ₄	R ₄	0,9982
Índice de rasgo (IR) = f(x=z; TMP)	IR (mN.m ² /g) =	8,4985	-2,8655 10 ⁻²	x	-2,3307 10 ⁻⁴	x ²	R ₅	R ₅	0,9935
Índice de rasgo (IR) = f(y=DA)	IR (mN.m ² /g) =	-2,8615 10	+1,5285 10 ⁻²	y	-1,5710 10 ⁻²	y ²	R ₆	R ₆	0,9889
Índice de arrependimento (IA) = f(x=z; TMP)	IA (kPa.m ² /g) =	4,1767	-4,4798 10 ⁻²	x	+1,2503 10 ⁻⁴	x ²	R ₇	R ₇	0,9993
Índice de arrependimento (IA) = f(y=DA)	IA (kPa.m ² /g) =	-1,2724 10	+6,1666 10 ⁻²	y	-5,6215 10 ⁻²	y ²	R ₈	R ₈	0,9999
Trabalho estático de ruptura à tração (TE)	TE (cm.kgf) =	1,2872	-2,2245 10 ⁻²	x	+8,9832 10 ⁻⁵	x ²	R ₉	R ₉	0,9991
(TE) = f(x=z; TMP)	TE (cm.kgf) =	-1,4329	+1,9722 10 ⁻²	y	-1,3336 10 ⁻²	y ²	R ₁₀	R ₁₀	0,9977
									10,11

OBSERVAÇÃO: R_i = coeficiente de correlação
R_{ij} = coeficiente de correlação parcial de i, quando j é constante.

TABELA 9: Equações obtidas a partir das características fílico-mecânicas das misturas de pasta de massa com folha de eucalipto SCD, destinadas à fabricação de pão (grupo 5.1), em função do teor de pasta (x) e da densidade aparente da farinha com grama dura de 60 g/m³.

Densidade aparente (DA) = f(x=z; TMP)	DA (g/cm ³) =	4,5324 10	-3,1040 10 ⁻²	x	+1,3513 10 ⁻⁵	x ²	R ₁	R ₁	0,9968
Índice de tração (IT) = f(x=z; TMP)	IT (N.m/g) =	8,6675 10 ⁻²	-9,8458 10 ⁻²	x	+2,5455 10 ⁻³	x ²	R ₂	R ₂	0,9997
Índice de tração (IT) = f(x = DA)	IT (N.m/g) =	-5,3372 10 ⁻²	+3,2142 10 ⁻²	y	-4,2983 10 ⁻²	y ²	R ₃	R ₃	0,9947
Alongamento (AL) = f(x=z; TMP)	AL (cm) =	2,9759	-6,2570 10 ⁻²	x	+1,8335 10 ⁻⁴	x ²	R ₄	R ₄	0,9905
Alongamento (AL) = f(x=DA)	AL (cm) =	-5,3113 10	+3,4922 10 ⁻²	y	-5,2312 10 ⁻²	y ²	R ₅	R ₅	0,9911
Índice de rasgo (IR) = f(x=z; TMP)	IR (mN.m ² /g) =	8,325	+1,335 10 ⁻³	x	-4,8133 10 ⁻⁴	x ²	R ₆	R ₆	0,9701
Índice de rasgo (IR) = f(x=DA)	IR (mN.m ² /g) =	-1,3356 10 ²	+1,4350 10 ⁻²	y	-1,0850 10 ⁻²	y ²	R ₇	R ₇	0,9663
Índice de arrependimento (IA) = f(x=z; TMP)	IA (kPa.m ² /g) =	5,1470	-6,985 10 ⁻²	x	+2,5266 10 ⁻⁴	x ²	R ₈	R ₈	0,9761
Índice de arrependimento (IA) = f(x=DA)	IA (kPa.m ² /g) =	-1,4516 10	+7,7402 10 ⁻²	y	-8,0302 10 ⁻²	y ²	R ₉	R ₉	0,9878
Trabalho estático de ruptura à tração (TE)	TE (cm.kgf) =	1,6983	-2,8139 10 ⁻²	x	+1,1957 10 ⁻⁴	x ²	R ₁₀	R ₁₀	0,9755
(TE) = f(x=z; TMP)	TE (cm.kgf) =	-3,2149	+1,4635 10	y	-8,3760 10 ⁻²	y ²	R ₁₁	R ₁₁	0,996
									10,11

OBSERVAÇÃO: R_i = coeficiente de correlação
R_{ij} = coeficiente de correlação parcial de i, quando j é constante.

TABELA 10 : Equações obtidas a partir das características físico-mecânicas e ópticas das misturas de pastas termomecânicas com pasta kraft de Eucaliptus spp, destinadas à fabricação de papel miolo (Grupo S.I), em função do teor de pasta termomecânica e da densidade aparente da folha com gramatura de 130 g/m².

Densidade aparente (DA) = f(x, TMP)	DA (g/cm ³) =	$4,3354 \cdot 10^{-1}$	$+4,7439 \cdot 10^{-3} .x$	$-1,6075 \cdot 10^{-5} .x^2$	R ₁ = 0,9994
[Índice de tração (IT) = f(x, TMP)]	IT (N/m²) =	$6,7397 \cdot 10^{-1}$	$-3,4829 \cdot 10^{-3} .x$	$-1,1221 \cdot 10^{-3} .x^2$	R ₂ = 0,9902
[Índice de tração (IT) = f(x+DA)]	IT (N/m²) =	$7,6157$	$-1,6297 \cdot 10^{-3} .x$	$+6,1103 \cdot 10^{-2} .x^2$	R ₃ = 0,9926 R ₄ = 0,9927 R ₅ = 0,9954 R ₆ = 0,9959
Alongamento (AL) = f(x, TMP)	AL (%) =	$3,1755$	$+2,3259 \cdot 10^{-2} .x$	$+6,38012 \cdot 10^{-5} .x^2$	R ₇ = 0,9900
Alongamento (AL) = f(x+DA)	AL (%) =	$5,2723$	$-3,4404 \cdot 10^{-1} .x$	$+5,8243 \cdot 10^{-2} .x^2$	R ₈ = 0,9954 R ₉ = 0,9959 R ₁₀ = 0,9959
[Índice de rasgo (IR) = f(x, TMP)]	IR (mL.m ² /g) =	$9,8727$	$-1,9122 \cdot 10^{-2} .x$	$-6,8955 \cdot 10^{-4} .x^2$	R ₁₁ = 0,9948
[Índice de rasgo (IR) 2 f(x+DA)]	IR (mL.m ² /g) =	$4,7738 \cdot 10^{-1}$	$-7,9125 .x$	$-6,9169 \cdot 10^{-1} .x^2$	R ₁₂ = 0,9974 R ₁₃ = 0,9974 R ₁₄ = 0,9974
[Índice de arrependimento (IA) = f(x, TMP)]	IA (kPa.m ² /g) =	$3,7208$	$-3,4013 \cdot 10^{-2} .x$	$+5,3314 \cdot 10^{-5} .x^2$	R ₁₅ = 0,9995
[Índice de arrependimento (IA) = f(x+DA)]	IA (kPa.m ² /g) =	$6,1138$	$-3,8829 \cdot 10^{-1} .x$	$+7,0634 \cdot 10^{-2} .x^2$	R ₁₆ = 0,9985 R ₁₇ = 0,9985
Trabalho estático de ruptura à tração (TE)					
[TE] = f(x, TMP)	TE (cm.kgf) =	$2,9870$	$-3,9917 \cdot 10^{-2} .x$	$+1,3923 \cdot 10^{-4} .x^2$	R ₁₈ = 0,9970
[TE] = f(x+DA)	TE (cm.kgf) =	$7,2243$	$-4,5709 \cdot 10^{-1} .x$	$+7,5067 \cdot 10^{-2} .x^2$	R ₁₉ = 0,9939 R ₂₀ = 0,9970
Resistência ao esmagamento por anel (RCT)					
[RCT] = f(x, TMP)	RCT (N) =	$6,1180 \cdot 10^2$	$-8,2634 .x$	$+3,3350 \cdot 10^{-2} .x^2$	R ₂₁ = 0,9729
[RCT] = f(x+DA)	RCT (N) =	$1,4201 \cdot 10^3$	$-8,4482 \cdot 10^3 .x$	$+1,3676 \cdot 10^{-1} .x^2$	R ₂₂ = 0,9589 R ₂₃ = 0,9589 R ₂₄ = 0,9729
Esmagamento do papel ondulado. Concor. (CHT)					
(CHT) = f(x+TMP)	CHT (N) =	$4,5760 \cdot 10^2$	$-2,5633 .x$	$-1,1671 \cdot 10^{-2} .x^2$	R ₂₅ = 0,9920
(CHT) = f(y+DA)	CHT (N) =	$8,1374 \cdot 10$	$-1,6742 \cdot 10^3 .x$	$+5,2549 \cdot 10^3 .x^2$	R ₂₆ = 0,9872 R ₂₇ = 0,9872
Rigidez Taber, RT = f(x+TMP)	RT (mN.m) =	$1,5635$	$+2,0775 \cdot 10^{-2} .x$	$-1,6885 \cdot 10^{-4} .x^2$	R ₂₈ = 0,9720
(RT) = f(y+DA)	RT (mN.m) =	$-2,9156$	$+2,5022 \cdot 10 .x$	$-3,0630 \cdot 10 .x^2$	R ₂₉ = 0,9534 R ₃₀ = 0,9534

OBSERVAÇÃO: R_i = coeficiente de correlação

R_{ij} = coeficiente de correlação parcial de i, quando j é constante.

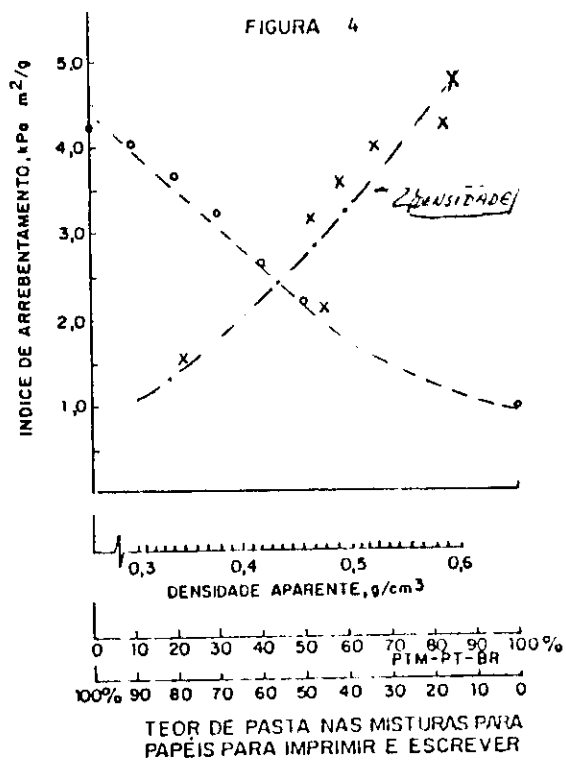
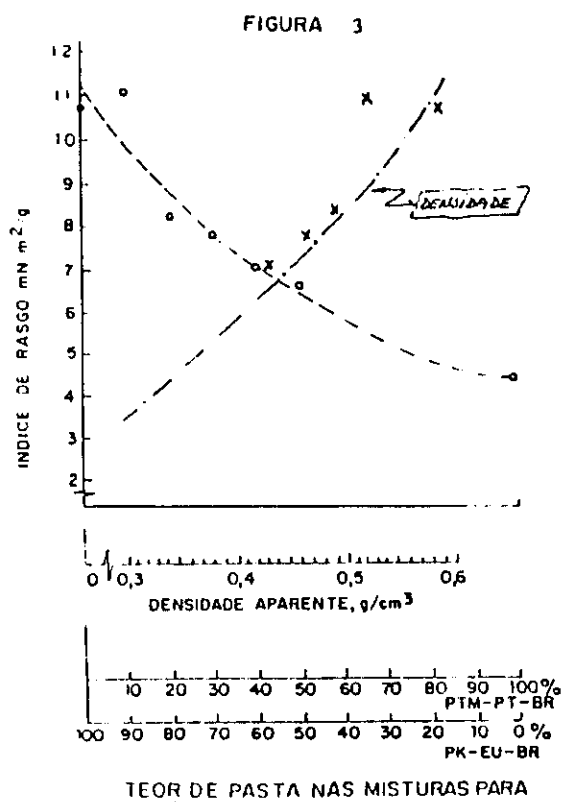
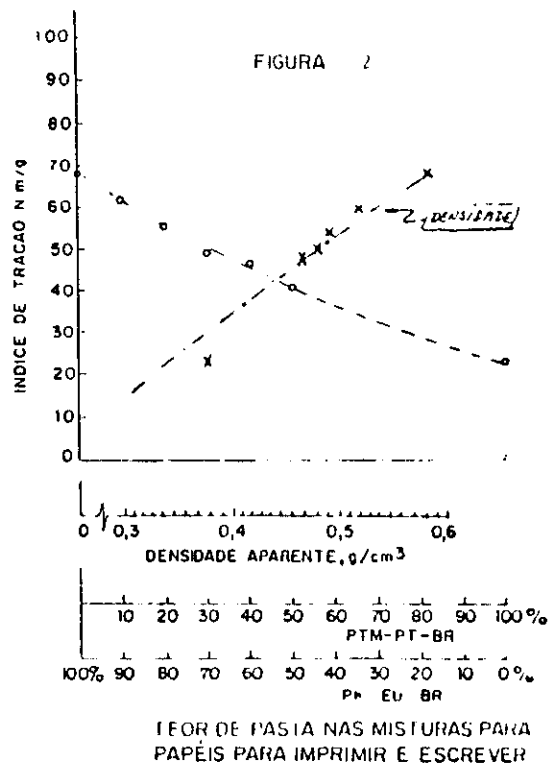
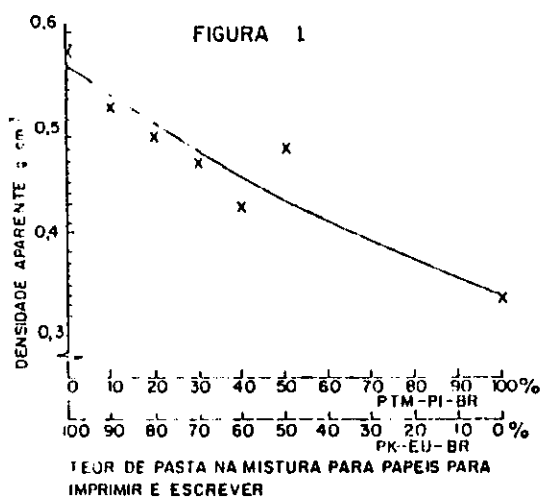
Tabela 11 Características físico-mecânicas de misturas destinadas à fabricação de papéis sanitários preparados com gramatura de 25 g/m² (%).

Nº	Misturas Composição**	Volume específico aparente cm ³ /g	Índice de tração N.m/g	Alongamento (%/60 g/m ²)	Ind.rasgo mNm/g	I.Arrependimento kPa.m ² /g	Ascancão capilar mm	Maciez Gurley seg/50 ml
Papel de qualidade boa	2,12	29,6	1,5	4,40	1,53	114,0	19,2	
Papel de qualidade média	3,98	17,8	1,6	4,63	1,09	94,0	15,5	
94	60 / 40 / 0	3,22	31,7	1,9	5,80	2,24	67,8	17,1
95	70 / 30 / 0	3,24	26,4	1,4	6,22	1,98	65,7	13,6
96	80 / 20 / 0	3,32	20,0	1,0	3,88	1,36	73,0	16,0
100	30 / 55 / 15	2,92	32,2	2,6	5,87	2,00	-	18,0
101	40 / 45 / 15	2,49	26,3	2,3	6,13	1,62	-	19,0
102	50 / 35 / 15	2,63	25,0	1,9	5,42	1,26	65,0	18,2
103	60 / 25 / 15	3,10	23,0	1,2	3,26	1,19	62,5	18,4
104	30 / 60 / 10	2,60	33,8	2,3	5,78	2,05	54,2	19,1
105	40 / 50 / 10	2,86	30,3	2,1	3,76	1,61	70,0	21,0
106	50 / 40 / 10	2,90	21,6	2,2	4,06	1,59	61,0	18,1
107	60 / 30 / 10	3,22	22,4	1,8	3,86	1,21	-	16,5
108	30 / 50 / 20	2,79	32,4	1,8	5,78	2,05	64,9	21,8
109	40 / 40 / 20	2,84	24,6	1,8	5,07	1,66	81,0	18,5
110	50 / 30 / 20	2,78	22,7	1,8	4,78	1,22	61,0	18,3
111	50 / 20 / 30	3,22	16,7	1,7	4,23	0,85	69,0	16,0

* Dados retirados das tabelas 8, deste relatório e da tabela 33 do trabalho 8.

** Valor de característica inferior àquele da mistura destinada à fabricação de papel de qualidade média. (tabela 33, trabalho 8).

** Composição: (TMP-PT-BR)/PK-PI-BR/PM M6-PI



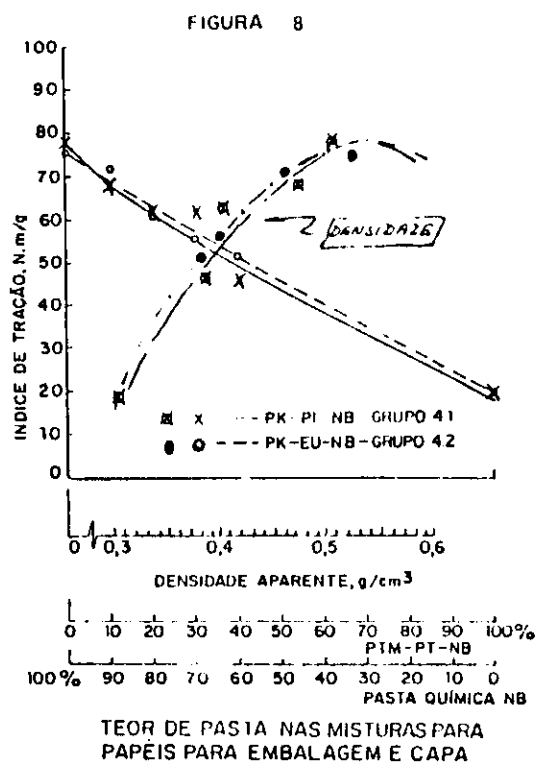
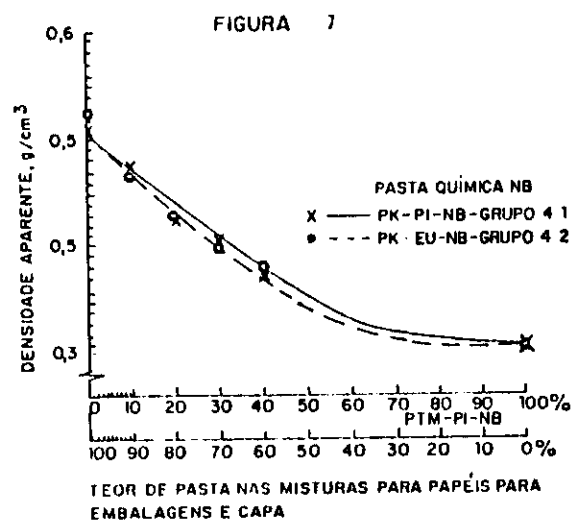
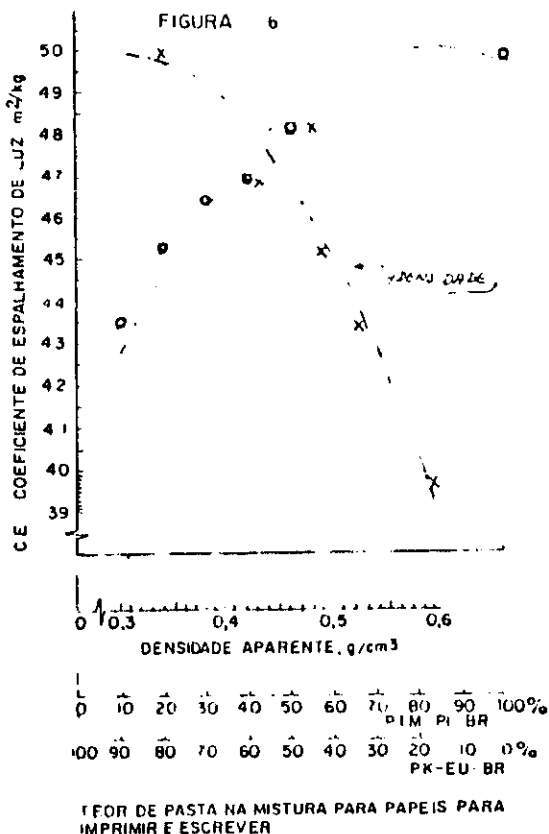
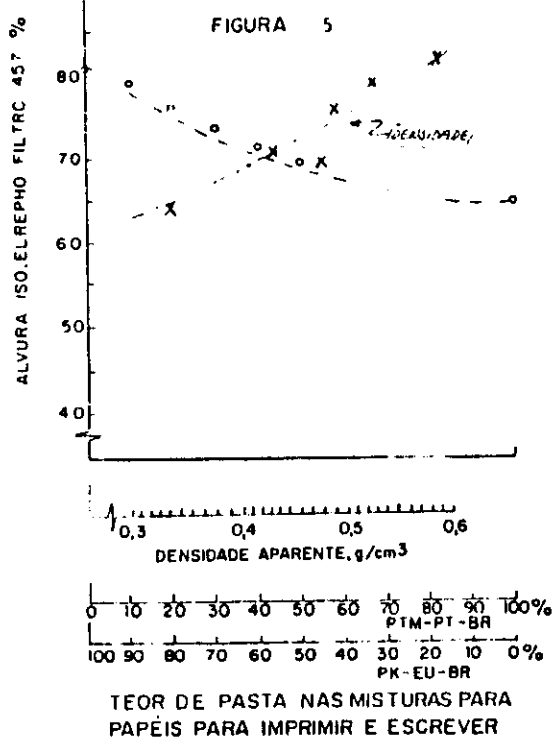
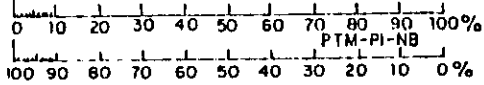
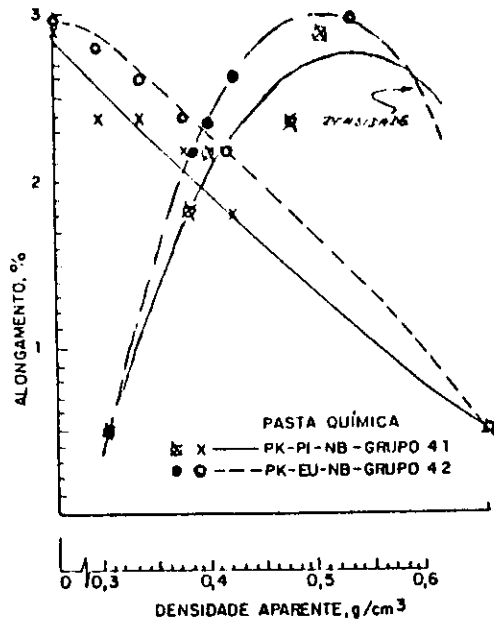
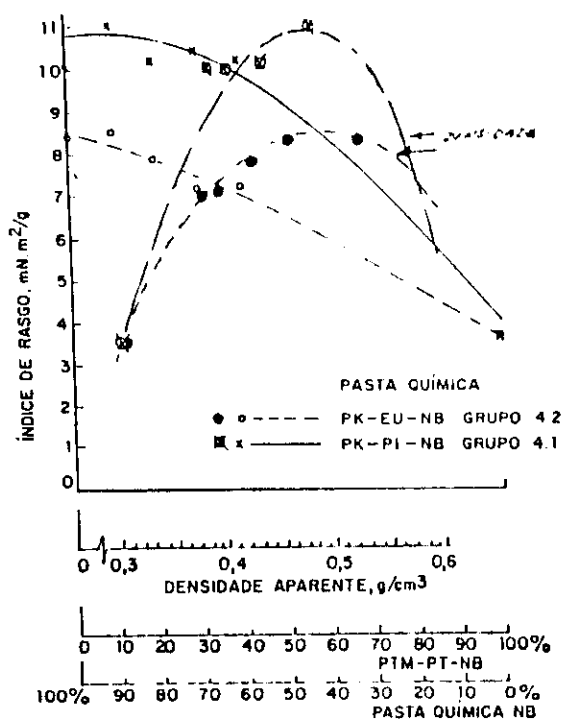


FIGURA 9



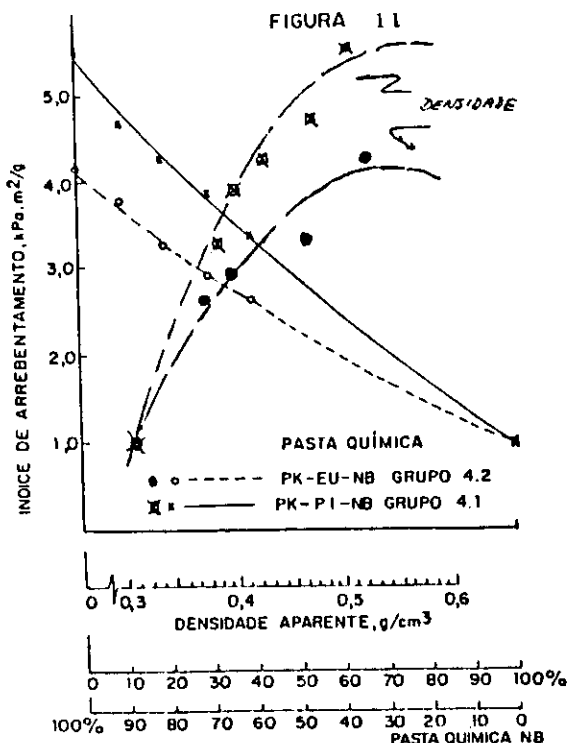
TEOR DE PASTA NAS MISTURAS PARA PAPEIS PARA EMBALAGENS E CAPA

FIGURA 10



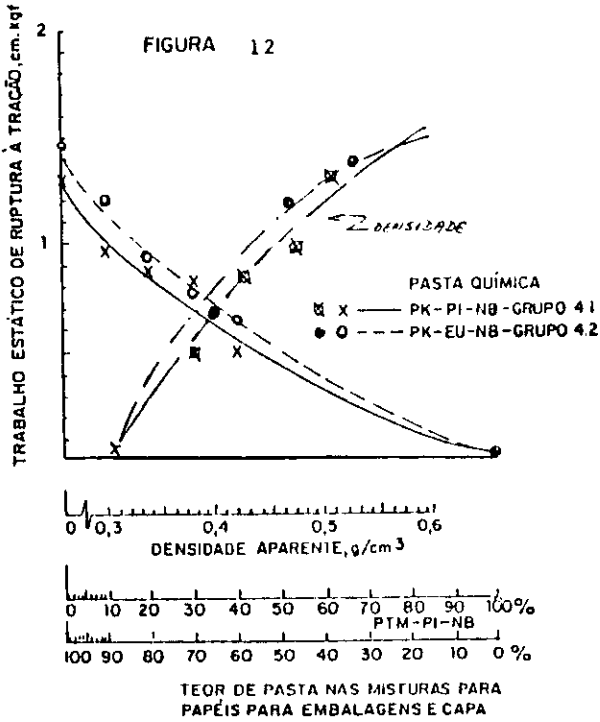
TEOR DE PASTA NAS MISTURAS PARA PAPEIS PARA EMBALAGEM E CAPA

FIGURA 11

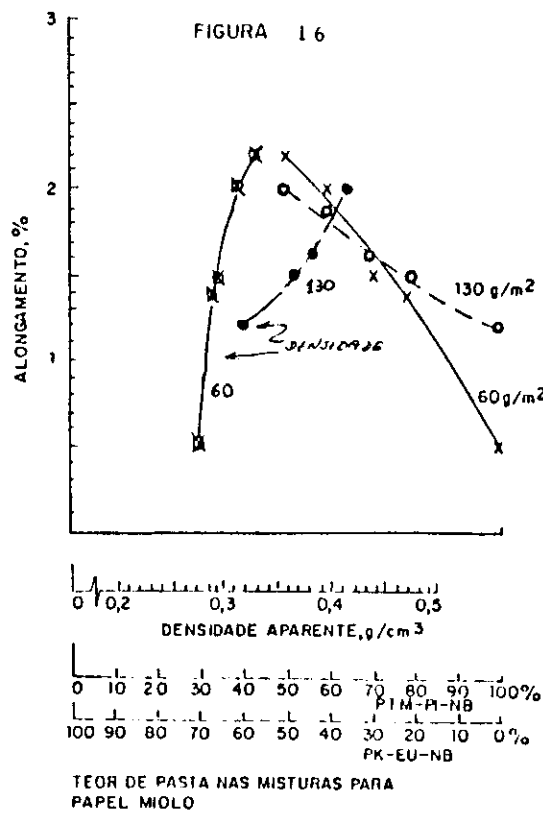
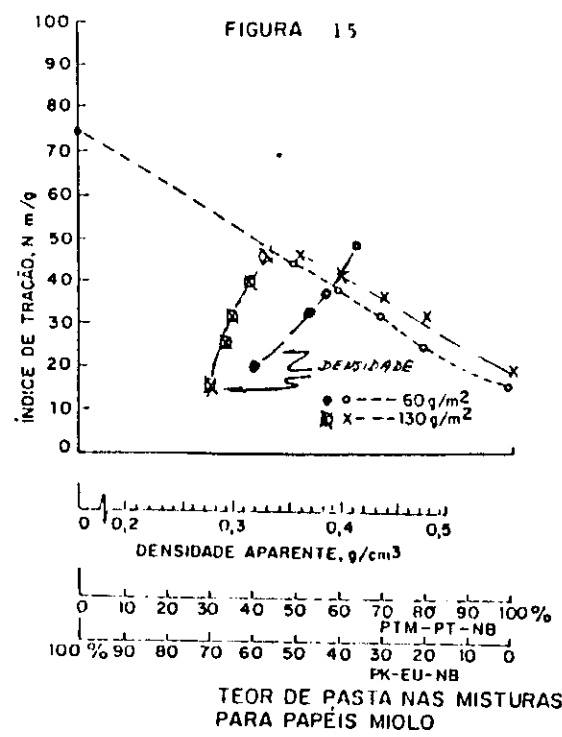
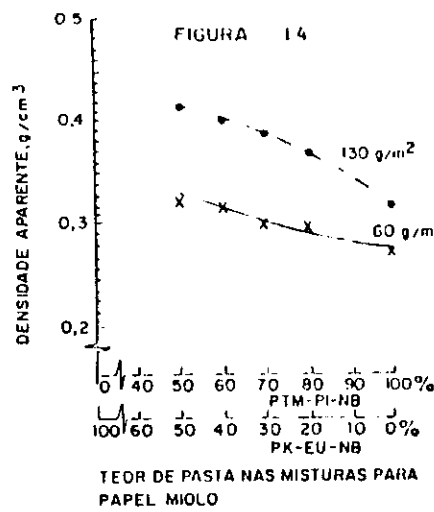
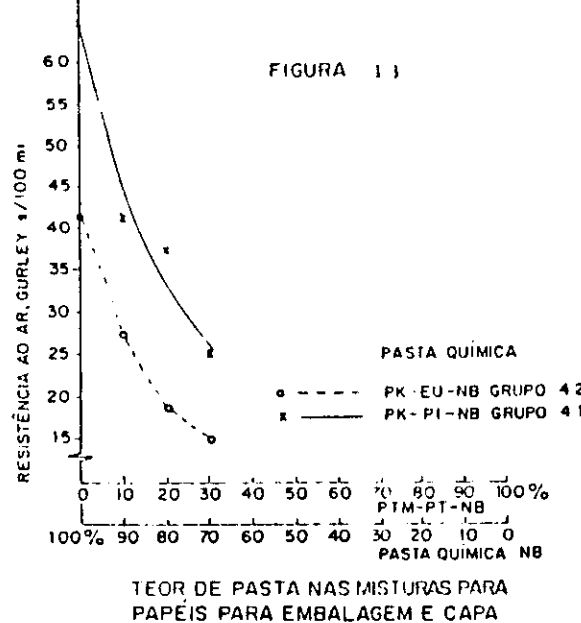


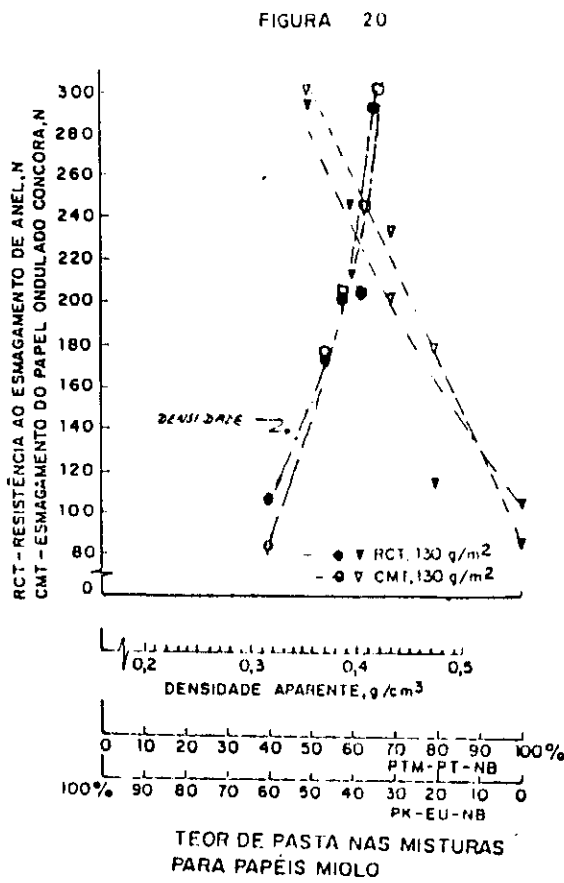
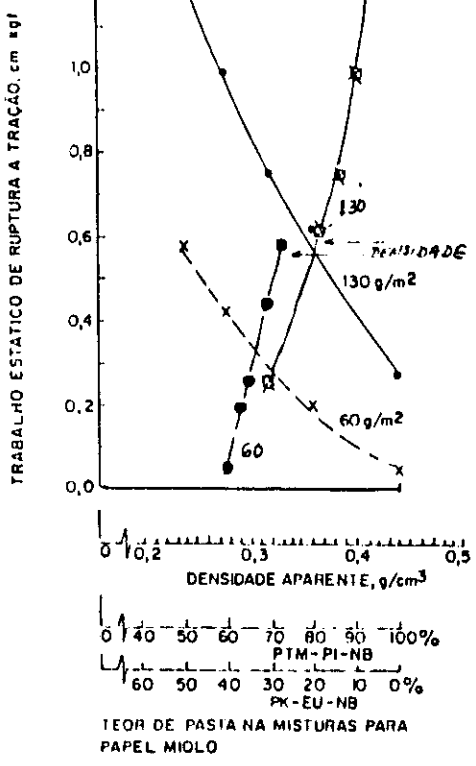
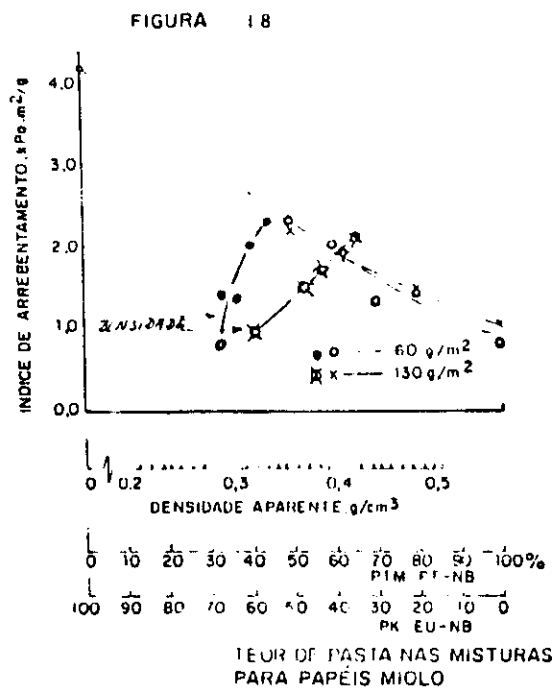
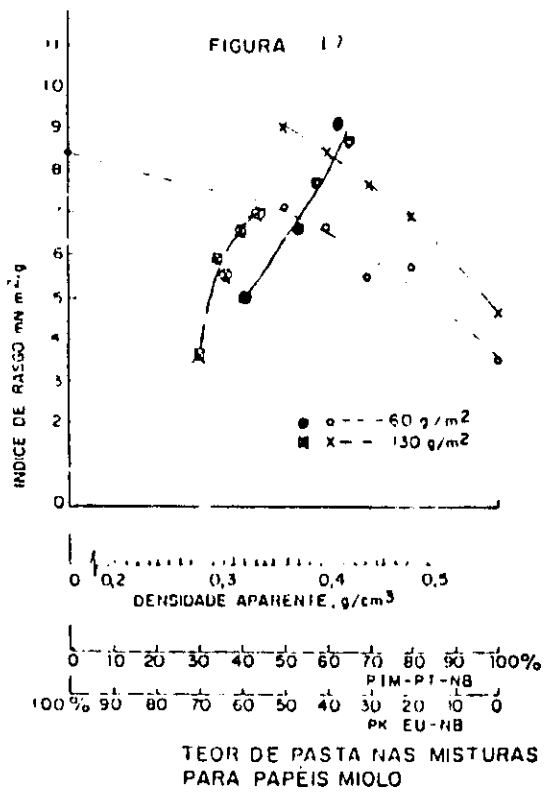
TEOR DE PASTA NAS MISTURAS PARA PAPEIS PARA EMBALAGEM E CAPA

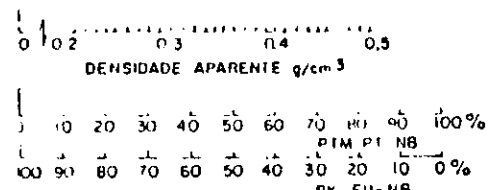
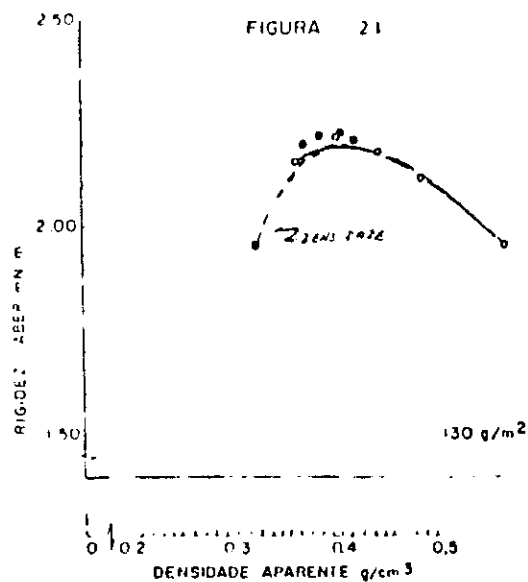
FIGURA 12



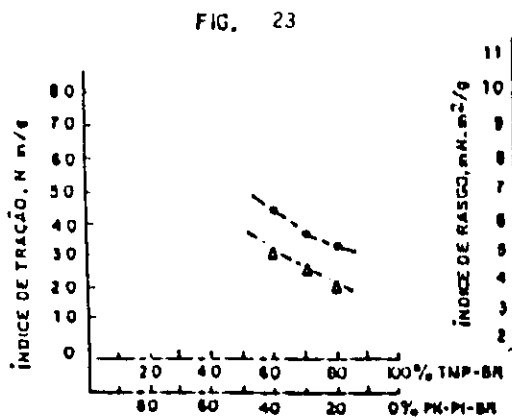
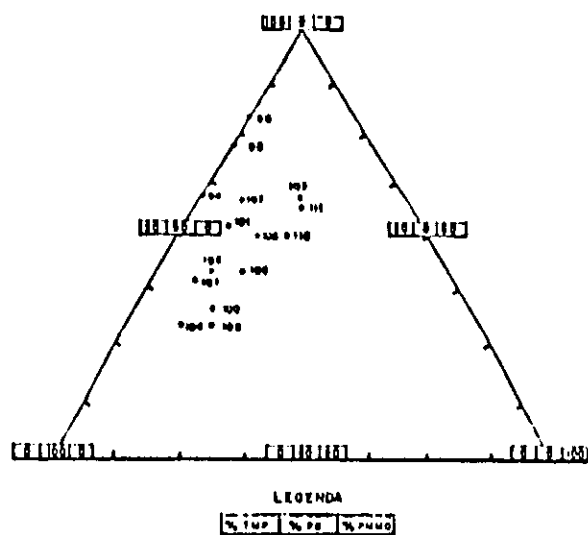
TEOR DE PASTA NAS MISTURAS PARA PAPEIS PARA EMBALAGEM E CAPA







TEOR DE PASIA NAS MISTURAS
PARA PAPEIS MOLO



TEOR DE PASIA NAS MISTURAS PARA PAPEIS SANITÁRIOS

